

한국부식학회지

Journal of the Corrosion Science Society of Korea  
Vol. 14, No. 2, June. 1985.

〈研究論文〉

## SUS 304 스테인레스 鋼材의 비등 MgCl<sub>2</sub> 용액 中에서의 응력 부식균열 억제에 관한 研究

임 우조 · 김 영식

### An Investigation For Anti-Stress Corrosion Cracking of SUS 304 Stainless Steel In MgCl<sub>2</sub> Boiling Solution

Uh Joh Lim\* and Young Sik Kim\*\*

#### ABSTRACT

The anti-stress corrosion cracking method by current density of cathodic protection was studied for the stress corrosion cracking of SUS304 austenitic stainless steel in the environment of 42% MgCl<sub>2</sub> boiling solution.

The correlation between the critical current density for anti-stress corrosion cracking and the initial crack intensity factor was inspected in the base metal and the welding heat affected zone.

Main results obtained are as follows:

1. The critical initial crack intensity factor  $K_{IiSCC}$  can be controlled by the current density of cathodic protection.
2. The correlation between the critical current density of cathodic protection for anti-stress corrosion cracking  $i$  ( $\mu A/cm^2$ ) and the initial crack intensity factor  $K_{Ii}$  ( $kg \cdot mm^{-3/2}$ ) is illustrated by the following formulas.

$$\text{In base metal} ; i = 0.0689 K_{Ii} - 0.238$$

$$\text{In heat affected zone} ; i = 0.0724 K_{Ii} - 4.8353$$

3. In condition of additional below the critical current density of cathodic protection for anti-stress corrosion cracking, the stress corrosion cracking is appeared to be inter-granular fracture.

#### 1. 結 論

오오스테나이트系 스테인레스 鋼을 利用한 構造物이 塩化物 腐蝕 環境下에서 使用될 경우, 응력부

식균열(Stress Corrosion Cracking: 以下 SCC로 약칭함) 事故로 그 使用 수명이 단축되는 예가 많이 보고 되고 있다<sup>1, 2, 3)</sup>.

이러한 事故를 防止하기 위해서는 使用 材料에 대한 腐蝕 環境에서의 SCC 発生과 伝播機構 및 그 特性이 解明되어야 하며 이에 따른 효율적인 억

\* 부산수산대학

\*\* 한국해양대학

제 대책이 確立되어야 할 것이다.

鹽化物 腐蝕 環境下에서의 오오스테나이트系 스테인레스 鋼材의 SCC 研究는 多数의 研究가 行하여져 왔으나, 그 伝播機構는 充分히 밝혀져 있지 않으며<sup>4,5</sup> 또한 機械的, 組織的 特性이 相異한 母材 原質部, 용접部, 焊接部 및 용작금속부 が相互連接되어 있는 焊接部의 SCC에 関한 研究는 充分히 이루워 져 있지 않다<sup>6,7,8</sup>.

다음이 오오스테나이트系 스테인레스 鋼材 용접構造物이 염화 마그네슘과 같은 가혹한 腐蝕 분위기에서 使用될 경우, 그 SCC 억제 대책에 関한 研究는 거의 이루워져 있지 않는 現象에 있다<sup>9,10</sup>.

筆者等은 前報에서, 염화 마그네슘 용액중에서의 오오스테나이트系 스테인레스 鋼材의 SCC 伝播機構를 電氣化學的側面에서 考察하여 그 모델을 提示하였고<sup>11</sup>, 또한 용접부에 있어서 모새, 용접연영부 및 용작금속부 等各部位別 SCC 發生

및 伝播 特性을 밝힌 바 있다<sup>12</sup>.

本 研究에서는 前報에서 行한 研究 結果를 토대로 오오스테나이트系 스테인레스 鋼材의 비동 염화마그네슘 용액中에서의 SCC를 억제하기 위한 方法으로 陰極防蝕法中 外部電源法을 실시하여 負荷條件에 따른 限界 防蝕電流密度를 究明하였다.

또한 이 鋼材의 용접부에 있어서의 SCC 억제를 위한 限界 防蝕電流密度를 용접부의 機械的 特性变化 및 電位變化와 関連시켜 考察하였다.

## 2. 實驗裝置 및 實驗方法

### 2.1 實驗材料 및 試驗片

本 實驗에 使用된 試驗材料는 두께 3mm인 市販의 SUS 304 오오스테나이트系 스테인레스 鋼材로 그 化學的 및 機械的 特性을 Table 1에 보인다.

Table 1 Chemical compositions and mechanical properties of used material

Material	Chemical Compositions (%)						
	C	Mn	Si	P	S	Ni	Cr
SUS 304	0.05	0.83	0.59	0.027	0.015	8.42	18.56

Temperature	Mechanical properties		
	0.2% proof stress (kg/mm <sup>2</sup> )	Tensile strength (kg/mm <sup>2</sup> )	Elongation gl = 25mm (%)
R. T	25.0	60.0	60.0
143 °C	14.0	44.7	71.0

이러한 板으로 부터 채취한 試驗片 및 노치의 形狀을 Fig. 1에 보인다.

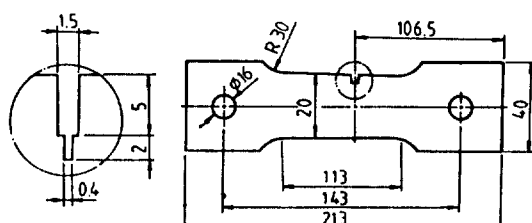


Fig. 1 Dimension of test specimen

용접부의 SCC 억제에 関한 試驗을 위해선 上述한 板材를 母材로 하고 이 위에 스테인레스 鋼 焊接用 焊接棒(直徑 1.5mm)을 이용하여 TIG 비기드 용접(용접 전류 75Amp, 熱量 9.6kJ/cm)을 施行한 후, 용접부의 영향부에 노치의 위치가 오도록 하여 모새의 試驗片과 같은 形狀으로 製作하였다.

또한 試驗片의 表面은 사포 2000番까지로 研磨한 후, 아세톤으로 脫脂하고 試驗片 表面으로 부터의 Pitting에 依한 영향을 除去하기 위하여 노치先端을 제외한 試驗片 全 表面을 투명한 耐熱에폭시樹

脂로 被覆하여 絶緣시켰다.

## 2.2 實驗裝置 및 實驗方法

本 實驗에 使用한 SCC 試驗機는 自作한 變位一定 型式의 것으로 그 概要를 Fig. 2에 보인다.

핸들의 조작으로 원의의 負荷応力を 調整할 수 있도록 하였으며, 負荷応力を 試驗片一端에 고정된 Load Cell을 거쳐 Digital Strain Indicator에 依해 測定하였다.

腐蝕 環境은 42%의 비등 염화 마그네슘 용액(溫度:  $143 \pm 2^{\circ}\text{C}$ )이며, 중발로 因한 溶液濃度의 變化를 防止하기 위해 容器 上部에 응축기(Condenser)를 설치하여 腐蝕 溶液의濃度를 一定하게 유지하였다.

SCC 伝播길이는 以上과 같은 溶液속에 試驗片을 一定 時間沈漬, 負荷한 後 10倍의 拡大境으로 測定하여 初期 応力強度係數(initial stress in-

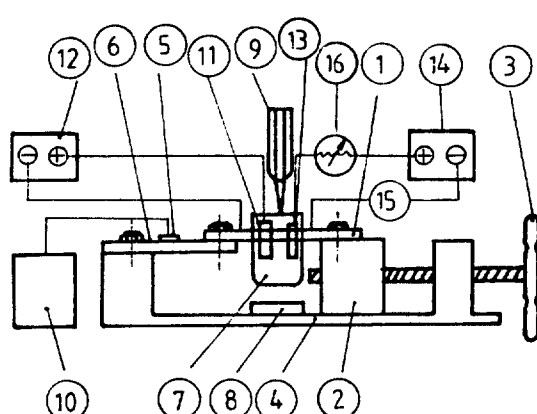
tensity factor)  $K_{\text{II}}$  값에 따른 균열 發生 및 伝播 動을 조사하였다.

그리고 電氣防蝕은 60V, D.C. 3A의 定電壓裝置 및 Pb-Ag 不溶性 陽極을 利用하여 Fig. 2와 같이 二回路를 配線하였다.

初期応力強度係數  $K_{\text{II}}$  값으로 負荷와 동시에 通電하여 가변저항기로 저항을 調節하면서, Electronic Multimeter(直流入力抵抗:  $10M\Omega$ )로 防蝕電流密度를 測定하였다.

이러한 方法으로 모재 및 용접열 영향부에 있어서의 各種 負荷 條件과 防蝕電流密度에 따른 SCC 發生 및 伝播 動을 연속적으로 觀察 調査하였다.

以上의 實驗을 通해 비등 염화 마그네슘 용액 中에서의 오오스테나이트系 鋼材의 모재 및 용접열 영향부에 있어서의 各種 負荷 條件에 따른 限界 防蝕電流密度를 究明하였다.



1. Specimen
2. Leading block
3. Handle
4. Bed
5. Strain gauge
6. Load cell
7. Corrosion cell
8. Heater
9. Condenser
10. Digital strain indicator
11. Potentiometer
12. Pb-Ag insoluble source
13. Ampere meter
14. Rheostat
15. Rheostat
16. Rheostat

Fig. 2 Schematic diagram of test apparatus

### 3. 實驗結果與考察

### 3.1 모재에 있어서의 防蝕電流密度에 따른 S C C 억제 特性

Fig. 3은 SUS 304 스테인레스 鋼의 母材에 대해 비동 열화 마그네슘 용액中에서 初期応力強度係數  $K_{ti} = 220 \text{ kg} \cdot \text{mm}^{-2}$  으로一定히 負荷하고 無防蝕과 防蝕電流密度를  $4 \mu\text{A}/\text{cm}^2$  으로 부터  $10 \mu\text{A}/\text{cm}^2$  까지 变化시켜 가면서 防蝕電流密度에 따른 SCC 発生 및 伝播 特性을 整理하여 보이 것이다.

여기서, 負荷狀態에 따른 初期 应力強度係數  $K_B$  값을 다음 式에 依해 求하였다<sup>13, 14)</sup>:

$\sigma$ : 负荷応力 a: 노치길이, w: 板幅

Fig. 3의 結果에 依하면, 防蝕電流密度가 增加해  
감에 따라 균열 發生까지의 潛伏期間은 현저히 길  
어지며 균열 發生 後 伝播速度 또한 매우 緩慢하  
게 되고 있음을 알 수 있다

특히 防蝕電流密度를  $10\mu A/cm^2$ 으로 했을 경우는  
試驗時間 5500분 까지도 노치 先端에서 균열이 発  
生되지 않고 있음을 보이고 있다

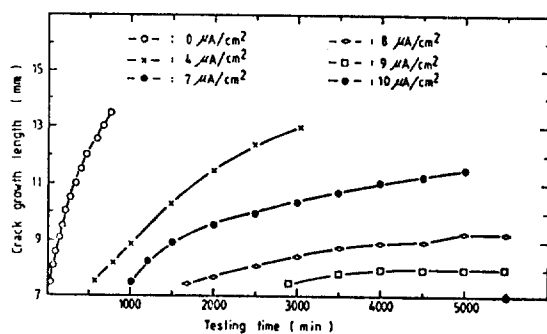


Fig. 3 Crack growth length Vs. Testing time at various current density of cathodic protection.  
 $(K_{fi} = 220 \text{ kg} \cdot \text{mm}^{-\frac{3}{2}})$

Fig. 4는 초기應力強度係數  $K_{II}$  값의 变化에 따른 노치先端에서 균열 發生까지의 潛伏期間을 防蝕電流密度變化에 대해 表示한 것이다. 이에 依하면 一定한 初期應力強度係數로 負荷한 條件에서는 一定한 限界值 以上의 防蝕電流密度를 부가하면 潜伏期間이 매우 급격하게 增加하여 本 試驗時間인 5500分 以內에서는 균열 發生이 完全히 억제되는 현상을 보이고 있다.

또한 이와 같이 균열이 완전히 억제되는 限界防  
蝕電流密度值는 初期 応力強度係數  $K_{Ic}$  값에 따라 가  
의 線形的으로 增加해 가고 있음을 알 수 있다

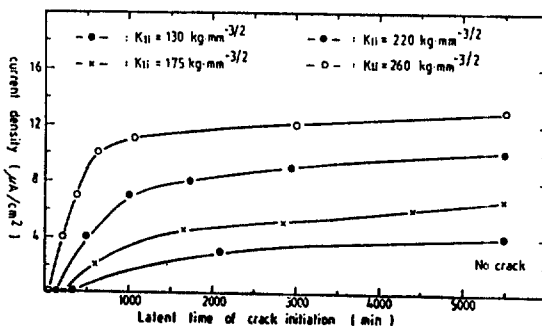


Fig. 4 Current density of cathodic protection Vs. latent time of crack initiation at various  $K_{II}$  value.

Fig. 5는 防蝕電流密度를  $4 \mu\text{A}/\text{cm}^2$ 로 일정하게 하여 初期応力強度係數  $K_{Ic}$  값에 따라 노치先端에서 균열 發生까지의 潛伏期間이 如何히 變化하는 가를 보인 것이다. 이 結果는 일정 防蝕電流密度를 부가한 條件에서 SCC 發生이 完全히 억제되는 限界 初期応力強度係數 값이 存在함을 보이고 있다.

陰極防蝕條件에서 発生 伝播된 破面의 微小的破面을 觀察한 結果를 Photo. 1에 보인다. Photo. 1은 初期 応力強度係數  $K_{th} = 175 \text{ kg} \cdot \text{mm}^{-4}$  인 條件에서 6  $\mu\text{A}/\text{cm}^2$  的 防蝕電流密度를 부가하였을 때 나타난 SCC 破面을 走査型 電子顕微鏡으로 觀察한 結果이다. 이것은 이와같은 防蝕 條件下에서도 完全한 結晶粒界 破面 樣相을 보이고 있음을 알 수 있다.

또한 結晶粒界 주위에 多量의 微細균열이 觀察되나 이하 微細균열이 主要영과 合致되어 SCC 균열

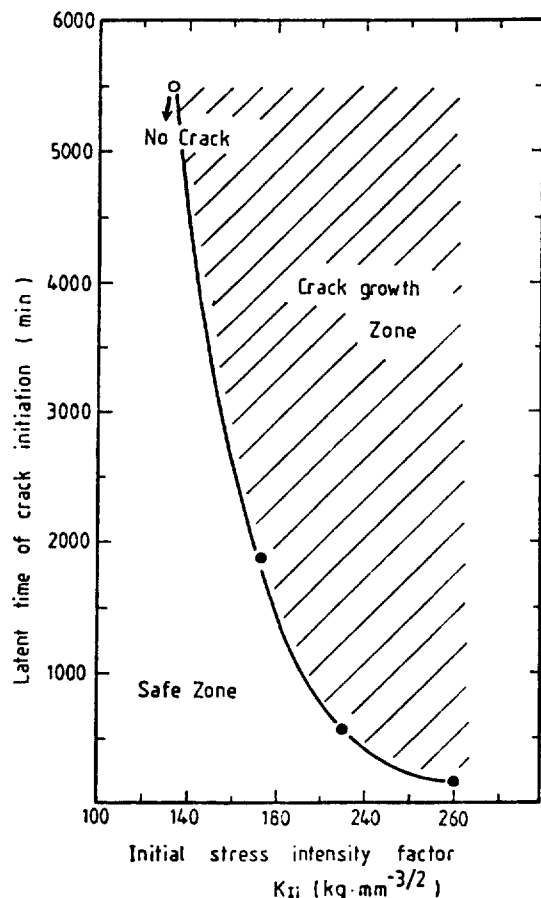


Fig. 5 Latent time of crack initiation Vs. various initial  $K_{Ii}$  value at current density.

열進展이 이루어지는 것으로思料된다.

그러나陰極電流密度를上昇시키면陰極分極이增加되고腐蝕은정지됨으로서이러한微細의균열의発生이방지되기때문에SCC의特性가일어나는것으로考察된다.

### 3.2 용접부에 있어서의 防蝕電流密度에 따른 SCC의 特性

Fig. 6은 모재와 용접열 영향부에 대해本試驗時間以内에서SCC가完全히 억제되는限界防蝕電流密度를各種初期応力強度係数  $K_{Ii}$  값에 대해表示한 것이다. 여기서 용접부는 용착금속, 용접열 영향부 및 모재가 서로連接되어 있으나前報

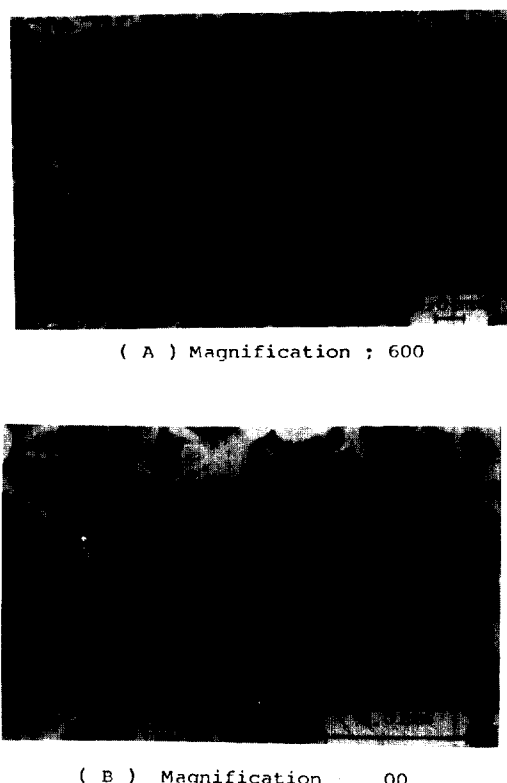


Photo. 1 Scanning electron micrograph of SCC in base metal ( $K_{Ii} = 175 \text{ kg} \cdot \text{mm}^{-3/2}$ , current density of cathodic protection =  $6.0 \mu\text{A/cm}^2$ )

<sup>[11]</sup>에서SCC감수성은용접열영향부가가장크고모재부에서가장작은것으로나타났기때문에이두부분만의SCC의特性을비교하였다.

여기서용접열영향부및모재共히初期応力強度係数  $K_{Ii}$  값이增加함에따라限界防蝕電流密度값은直線적으로增加해가고있다.

또한같은負緯條件에서는용접열영향부가모재에비해더높은限界防蝕電流密度를必要로함을알수있다.

以上의 두部分에서初期応力強度係数  $K_{Ii}$  ( $\text{kg} \cdot \text{mm}^{-3/2}$ ) 값과限界防蝕電流密度  $i$  ( $\mu\text{A}/\text{cm}^2$ ) 와의関係를數式으로 나타내면 다음과 같다.

모재에 있어서는

$$i = 0.0689K_{II} + 5.0238 \quad \dots \dots \dots \quad (2)$$

용접열 영향부에서는

$$i = 0.0724K_{II} - 4.8353 \quad \dots \dots \dots \quad (3)$$

以上과 같이 모재와 용접열 영향부의 경계 防蝕電流密度에 差異가 나타나는 것은 이 두 부분의 機械的 및 電氣 化學的 特性의 相違에 起因되는 것으로 思料된다.

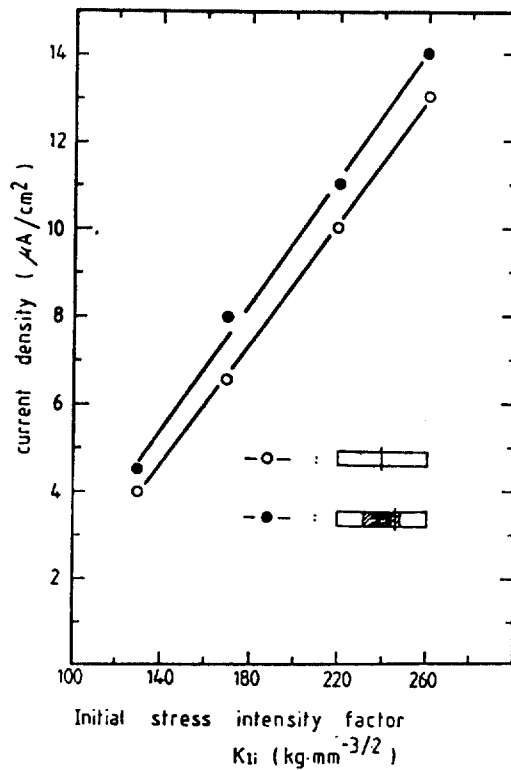


Fig. 6 Critical current density of cathodic protection  
Vs.  $K_{II}$  value based on testing time of 5500  
min.

즉 용접부의 硬度 變化 및 自然電位 變化를 調査한 結果는 Fig. 7과 같이 나타났다.

硬度 變化는 一般 炭素鋼 용접부와는 달리 용접열 영향부가 모재와 용착금속부에 比해 軟化 되어 있는 結果를 보이고 있다. 이것은 SUS 304 오오스테이너트系 스테인레스鋼材는 变能点이 없으므로 용접열 사이클로 因한 变能組織은 기대할 수 없으

나 모재가 塑性加工되어 있으므로 熔接時의 열영향을 받아 일어나는 再結晶 현상으로 因해 용접열 영향부가 軟化되는 것으로 思料된다<sup>12</sup>. 따라서 용접열 영향부는 一定한 負荷條件에서 他部分에 比해 塑性变形을 쉽게하고 이러한 塑性变形은 스테인레스鋼材의 不動態 皮膜의 빠른 破壞를 초래함과 동시에 皮膜의 破壞面積을 크게 함으로써 腐蝕反應을 促進하여<sup>13</sup> SCC 發生 및 伝播 감수성을 크게 한다.

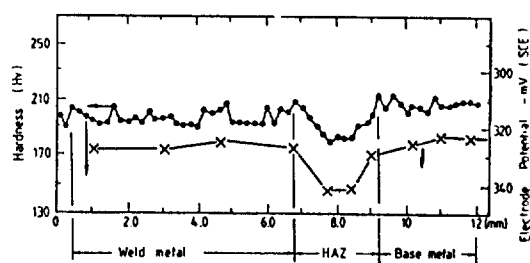


Fig. 7 Vickers hardness and Electrode potential on the weld zone (Solution; 35%  $MgCl_2$ , 89 °C)

또한 용접열 영향부에서는 용접열 사이클로 因해 錐敏화 현상이 초래되어  $(FeCr)_{23}C_6$  形態의 炭化物이 結晶粒界에 析出됨으로서 粒界부근의 Cr 밀집도를 가져오게 된다<sup>14, 15</sup>. 이 때문에 스테인레스鋼材特性인 不動態 皮膜의 形成이 용접열 영향부의 結晶粒界 부근에서는 더욱 어려워져서 自然電位는 낮아지는 結果를 나타내는 것으로 생각된다.

以上의 두 가지 효과가 중첩됨으로써 용접열 영향부의 SCC 發生 및 伝播감수성은 모재에 比해 增大되고 이 結果 모재에 比해 용접열 영향부가 陰極分極 시키는데 필요한 防蝕電流密度를 더욱 높게 하여야만 SCC를 억제할 수 있다.

#### 4. 結論

SUS 304 오오스테이너트系 스테인레스鋼材를 試驗材로 하여 이 鋼材의 모재 및 용접열 영향부에 대해 비등 염화 마그네슘 溶液中에서의 SCC 억제를 위한 方法으로서 電氣防蝕法을 實시하여 負荷條件에 따른 限界 防蝕電流密度를 究明하였다.

중요한 結果를 要約하면 다음과 같다

1) 防蝕電流密度를 크게 하면 SCC 발생이 억제되는 경계 초기応力強度係数  $K_{\text{II}}$  SCC 값은 상승된다.

2) 비동 염화 마그네슘 溶液中에서 SUS 304 스테인레스 鋼材의 母材와 용접열 영향부에 있어서 SCC를 억제할 수 있는 防蝕電流密度  $i(\mu\text{A}/\text{cm}^2)$  값은 初期応力強度係数  $K_{\text{II}}(\text{kg}\cdot\text{mm}^{-3})$  값에 따라서 각각 다음과 같이 나타났다.

모세에 있어서는,

$$i = 0.0689K_{\text{II}} - 5.0238$$

용접열 영향부에 있어서는,

$$i = 0.0724K_{\text{II}} - 4.8353$$

3) 비동 염화 마그네슘 溶液中에서 SUS 304 스테인레스 鋼材의 限界防蝕電流密度 以下에서 발생하는 SCC는 典型的인 結晶粒界 破壞의 樣相을 보이고 있다.

## 参考文献

- 1) 駒井謙治郎：腐食疲労研究の現状と展望，日本鉄と鋼，Vol. 61, No. 7, p. 8, (1983)
- 2) 渡辺正記, 間井喜彦, 四十万里之, 川方久敬：繰返し荷重下におけるステンレス鋼およびその溶接継手の応力腐食割れに関する研究(第1報) 日本溶接学会誌, Vol. 39 No. 6, p. 10 (1970)
- 3) 藤咲衛, 山本膝美：ステンレス鋼溶接部の代表的腐食事例について, 日本溶接学会誌, Vol. 3, No. 1, p. 218, 219 (1985)
- 4) A. J. Bursle, E. N. Pugh : An Evaluation of Current Modes for the Propagation of Stress Corrosion Cracking, The Metallurgical Society of AIME, p. 33 (1983)
- 5) 大谷南海男：き裂先端における応力と腐食の相互作用, Proceeding of the 23th Japan National Symposium on Strength fracture and fatigue 日本材料強度学会, p. 17 (1978)
- 6) K. Takashima, N. W. Ringshall, Y. Higo, T. Obinata, T. Nakamura, and S. Nunomura, The Effect of Martensite of Stress Corrosion Cracking of Austenitic Stainless Steel, Fracture Research, Vol. 2, p. 981, (1981)
- 7) 川久保隆, 菊田護：丁積分による高温水中の応力腐食割れ伝播速度の解析, 日本防食技術, Vol. 31, No. 1 p. 19 (1982)
- 8) 間井喜彦, 材田雅人, 福嶋寿文：オーステナイト系ステンレス鋼ならびにその溶接継手における応力腐食割れ伝播特性の破壊力学的評価に関する研究, 日本溶接学会誌, Vol. 48, No. 5, p. 84, (1979)
- 9) 藤野佐一：工業材料便覧, 日刊工業新聞社, p. 478, (1983)
- 10) 田大熙：腐食と防蝕, 海事圖書出版部(理論編) p. 125 (1975)
- 11) 林祐助, 金永植：ステンレス鋼板의 응력부식균열 伝播機構에 관한 研究, 韓國船舶用機器学会誌 Vol. 9, No. 1, p. 11 (1985)
- 12) 金永植, 林祐助：SUS 304 鋼熔接部의 SCC 特性에 관한 研究, 大韓機械学会誌, Vol. 8, No. 6, p. 569~575 (1984)
- 13) 石田誠：き裂の弾性解析と応力拡大係数, 培風館, p. 177 (1972)
- 14) 向井喜彦, 材田雅人：オーステナイト系ステンレス鋼ならびにその溶接継手における応力腐食割れ伝播特性の破壊力学的評価に関する研究(第2報), 日本溶接学会誌, Vol. 48, No. 2, p. 61, (1979)
- 15) 大谷南海男：金属の塑性と腐食反応 産業図書, p. 88 (1977)
- 16) M. G. Fontana, N. D. Green : Corrosion Engineering, McGraw-Hill Book, p. 58~60 (1978)
- 17) 藤田輝夫：ステンレス鋼の熱処理, 日刊工業新聞社, p. 120 (1981)